

Resolução de Estruturas Hiperestáticas por Etapas

Edgard Sant'Anna de Almeida Neto
almeidae@usp.br

PEF – Departamento de Estruturas e Geotécnica
Escola Politécnica da USP
São Paulo, SP

24 de Agosto de 2018

- Dicas
- Exemplo 1 — Estrutura com Folgas de Montagem
 - ▶ Divisão em Etapas
 - ▶ Resolução
- Problema
- Exemplo 2
 - ▶ Método dos Deslocamentos
 - ▶ Método dos Esforços
- Conclusões

Dicas

- Explicite a variável independente no enunciado e estabeleça eventos nessa variável visando delimitar as etapas do problema.
A variável pode ser uma carga, o tempo, a temperatura, a umidade etc.
- Faça esboços representativos de cada etapa.
Desenhe a geometria e as ações; para depois acrescentar deslocamentos, alongamentos e forças normais relevantes.
- Faça a distinção entre uma variável e seus incrementos nas etapas.
É usual caracterizar a etapa por valores das variáveis no final da etapa.
- Escolha nGL deslocamentos incógnitos se estiver resolvendo pelo método dos deslocamentos ou GH incógnitas hiperestáticas se estiver resolvendo pelo método dos esforços.
Lembre-se que nGL e GH podem variar de etapa para etapa.
- Vale a pena representar as forças normais incógnitas como positivas e usar a intuição para verificar as respostas no final das etapas.

1. RESOLUÇÃO DE ESTRUTURAS POR ETAPAS

Estrutura com Folgas de Montagem

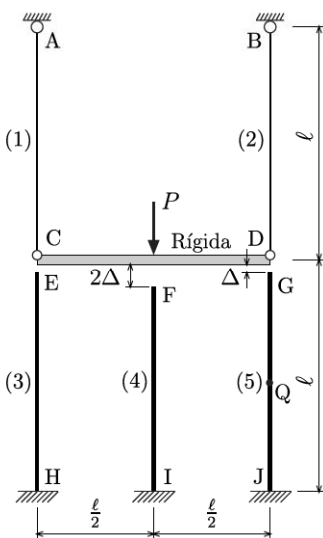
Exemplo (Q20-14P1Q2)

A carga P aplicada na estrutura da figura varia de 0 a 1 600 kN. Para esse intervalo, trace os seguintes gráficos:

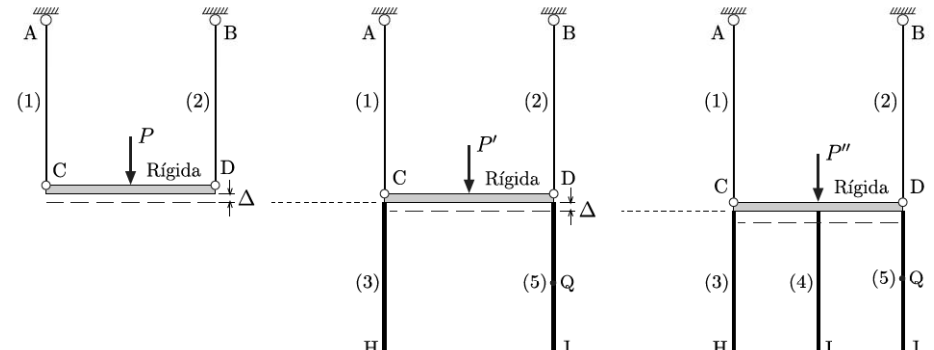
$$\sigma_1 \times P, \quad \sigma_3 \times P, \quad v_Q \times P.$$

sendo σ_1 e σ_3 as tensões normais nas barras 1 e 3, e v_Q o deslocamento vertical do ponto Q.

A barra CD é rígida, as barras 1 e 2 possuem produto de rigidez EA e as barras 3, 4 e 5 possuem produto de rigidez $2EA$. São dados: $\ell = 100 \text{ cm}$, $\Delta = 0,1 \text{ cm}$, $E = 10000 \text{ kN/cm}^2$, $A = 10 \text{ cm}^2$.



Divisão em Etapas - Movimento de CD sob a ação de P



A – Até atingir (3) e (5)

$$0 \leq P \leq P^A$$

B – Até atingir (4)

$$P^A \leq P \leq P^B$$

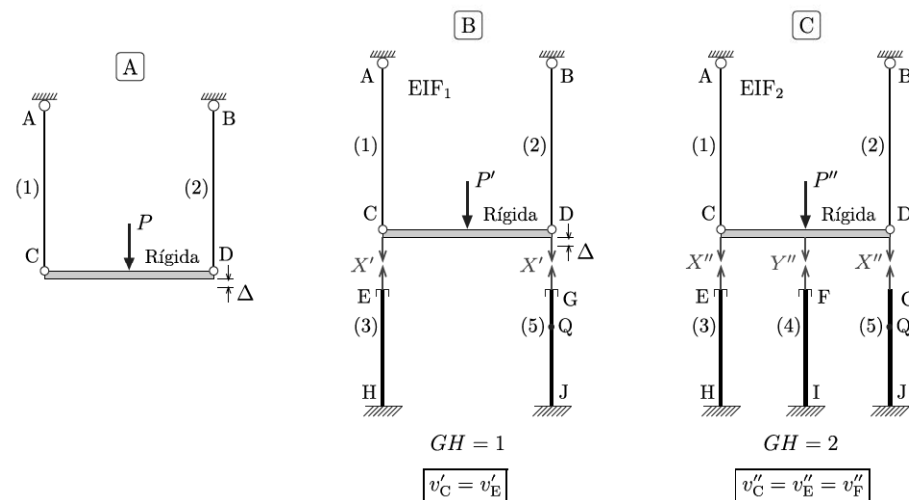
C – Até $P = 1600 \text{ kN}$

$$P^B \leq P \leq 1600$$

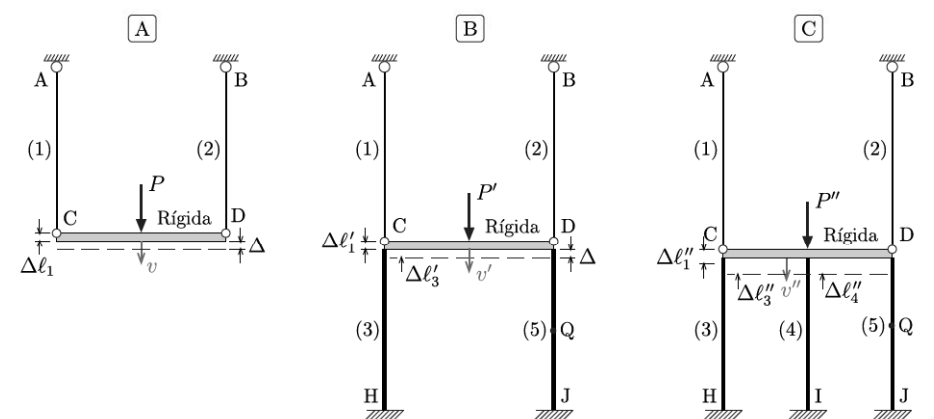
$$0 \leq P' \leq P^B - P^A$$

$$0 \leq P'' \leq 1600 - P^B$$

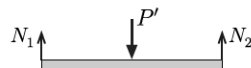
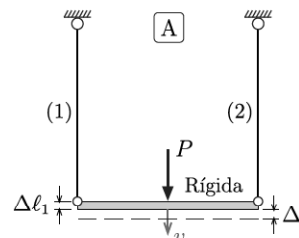
Método dos Esforços - três estruturas distintas!



Método dos Deslocamentos - $nGL = 1$ nas três!



Etapa A
– Quando atinge (3) e (5)



- Compatibilidade

$$v = \Delta\ell_1 = \Delta$$

- Eq. constitutiva

$$\Delta\ell_1 = \frac{N_1\ell}{EA} = \Delta \Rightarrow N_1 = \frac{EA}{\ell}\Delta = \frac{10^4 \times 10}{100} 0,1 = 100 \text{ kN}$$

- Equilíbrio

$$P = N_1 + N_2 = 2N_1 = 200 \text{ kN}$$

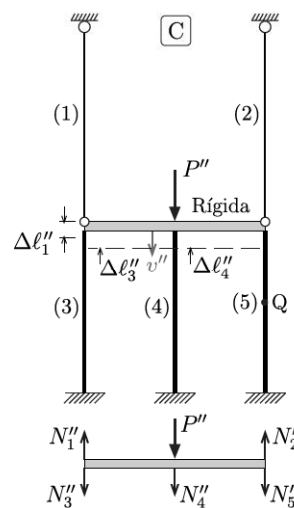
$$P^A = 200 \text{ kN}$$

$$N_1^A = 100 \text{ kN} \quad N_3^A = 0 \quad v_Q^A = 0 \\ \sigma_1^A = \frac{100}{10} = 10 \text{ kN/cm}^2 \quad \sigma_3^A = 0$$

Edgard S Almeida Neto (PEF-EPUSP) | Resolução de Estruturas Hiperestáticas por E

24 de Agosto de 2018 9 / 33

Etapa C
– Quando $P = 1600 \text{ kN}$



$$P'' = 1600 - P^B = 800 \text{ kN}$$

- Compatibilidade

$$v'' = \Delta\ell_1'' = -\Delta\ell_3'' = -\Delta\ell_4''$$

- Eq. constitutiva

$$\frac{N_1''\ell}{EA} = -\frac{N_3''\ell}{2EA} = -\frac{N_4''\ell}{2EA} \Rightarrow N_3'' = N_4'' = -2N_1''$$

- Equilíbrio

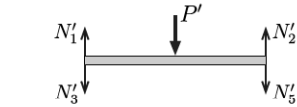
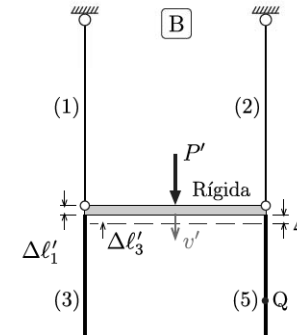
$$P'' = 2N_1'' - 2N_3'' - N_4'' \Rightarrow 800 = (2+4+2)N_1''$$

$$N_1'' = 100 \text{ kN} \quad N_3'' = N_4'' = -200 \text{ kN} \\ v'' = 0,1 \text{ cm} \quad v_Q'' = 0,05 \text{ cm}$$

$$P^C = 1600 \text{ kN}$$

$$N_1^C = 300 \text{ kN} \quad N_3^C = -400 \text{ kN} \quad v_Q^C = 0,1 \text{ cm} \\ \sigma_1^C = 30 \text{ kN/cm}^2 \quad \sigma_3^C = -20 \text{ kN/cm}^2$$

Etapa B
– Quando atinge (4)



- Compatibilidade

$$v' = \Delta\ell_1' = -\Delta\ell_3' = \Delta$$

- Eq. constitutiva

$$\frac{N_1'\ell}{EA} = -\frac{N_3'\ell}{2EA} = \Delta \\ N_1' = N_2' = \frac{EA}{\ell}\Delta = 100 \text{ kN} \\ N_3' = N_5' = -\frac{2EA}{\ell}\Delta = -200 \text{ kN}$$

- Equilíbrio

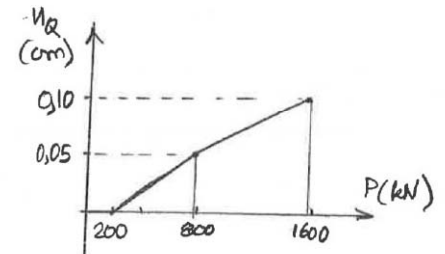
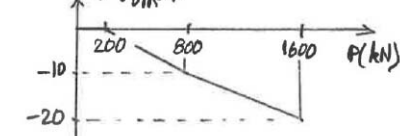
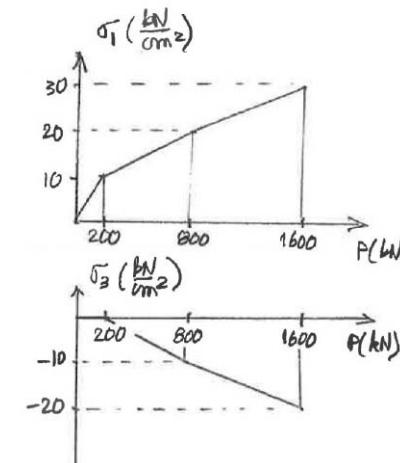
$$P' = 2N_1' - 2N_3' = 600 \text{ kN}$$

$$P^B = P^A + P' = 800 \text{ kN} \\ N_1^B = 200 \text{ kN} \quad N_3^B = -200 \text{ kN} \quad v_Q^B = \frac{\Delta}{2} \\ \sigma_1^B = 20 \text{ kN/cm}^2 \quad \sigma_3^B = 10 \text{ kN/cm}^2 \quad = 0,05 \text{ cm}$$

Edgard S Almeida Neto (PEF-EPUSP) | Resolução de Estruturas Hiperestáticas por E

24 de Agosto de 2018 10 / 33

Gráficos



Problema (99P1Q2)

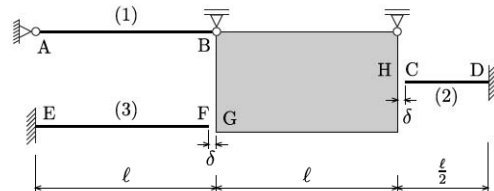
A barra EF da estrutura da figura sofre uma variação de temperatura de $250^\circ C$. Para mostrar o que ocorre na estrutura à medida que a temperatura aumenta, trace os seguintes gráficos no intervalo de $0 \leq \Delta t \leq 250^\circ C$:

a) $u_F \times \Delta t$

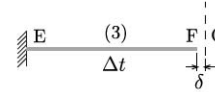
b) $N_1 \times \Delta t$

c) $N_2 \times \Delta t$

A chapa GHBC é infinitamente rígida e as barras AB, CD e EF são deformáveis, têm área $A = 10 \text{ cm}^2$ e seu material tem módulo de elasticidade $E = 1000 \text{ kN/cm}^2$ e coeficiente de dilatação térmica $\alpha = 20 \times 10^{-5} \text{ }^\circ C^{-1}$. Considere $\ell = 100 \text{ cm}$ e $\delta = 1 \text{ cm}$.

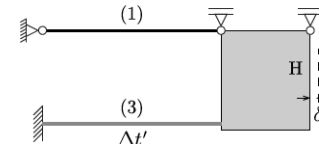


Divisão em Etapas



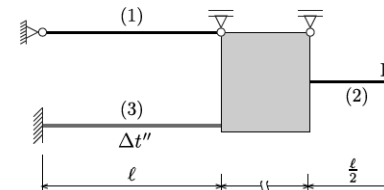
A – Até (3) atingir a chapa

$$0 \leq \Delta t \leq \Delta t^A$$



B – Até a chapa atingir (2)

$$\Delta t^A \leq \Delta t \leq \Delta t^B$$



C – Até $\Delta t = 250^\circ C$

$$\Delta t^B \leq \Delta t \leq 250$$

$$0 \leq \Delta t'' \leq 250 - \Delta t^B$$

• Compatibilidade

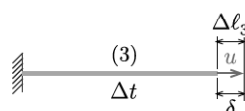
$$u = \Delta \ell_3 = \delta$$

• Eq. constitutiva

$$\Delta \ell_3 = \alpha \ell \Delta t = \delta$$

$$\Rightarrow \Delta t = \frac{\delta}{\alpha \ell} = \frac{1}{2 \times 10^{-4} \times 100} = 50^\circ C$$

Etapa A
– Quando (3) atinge a chapa



• Equilíbrio

$$N_3 = 0$$

$$\Delta t^A = 50^\circ C$$

$$N_1^A = 0$$

$$N_2^A = 0$$

$$N_3^A = 0$$

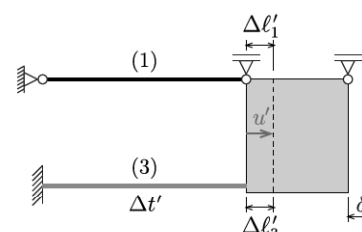
• Compatibilidade

$$u' = \Delta \ell'_1 = \Delta \ell'_3 = \delta$$

• Eqs. constitutivas

$$\frac{N'_1 \ell}{EA} = \frac{N'_3 \ell}{EA} + \alpha \ell \Delta t' = \delta$$

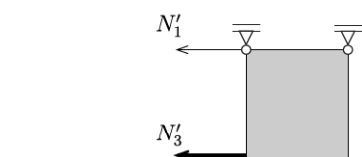
$$\Rightarrow \begin{cases} N'_1 = \frac{EA}{\ell} \delta = 100 \text{ kN} \\ \Delta t' = \left(\delta - \frac{N'_3}{EA} \right) \frac{1}{\alpha \ell} \end{cases}$$



• Equilíbrio

$$N'_3 = -N'_1 = -100 \text{ kN}$$

$$\Delta t' = 100^\circ C$$



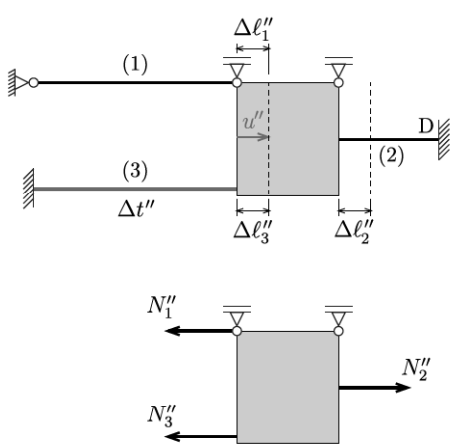
$$\Delta t^B = 150^\circ C$$

$$N_1^B = 100 \text{ kN} \quad N_2^A = 0 \quad N_3^A = -100 \text{ kN}$$

- Compatibilidade

$$u'' = \Delta\ell_1'' = \Delta\ell_3'' = -\Delta\ell_2''$$

Etapa C
- Quando $\Delta t = 250^\circ C$
 $\Delta t'' = 250 - 150 = 100^\circ C$



- Eqs. constitutivas

$$\frac{N''\ell}{EA} = \frac{N_3''\ell}{EA} + \alpha\ell\Delta t'' = -\frac{N_2''\ell}{EA}$$

$$\Rightarrow \begin{cases} N_2'' = -2N_1'' \\ N_3'' = N_1'' - \alpha\Delta t''EA \end{cases}$$

- Equilíbrio

$$N_2'' = N_1'' + N_3''$$

$$-2N_1'' = N_1'' + N_1'' - \alpha\Delta t''EA$$

$$N_1'' = \frac{2 \times 10^{-4} \times 100 \times 1 \times 10^4}{4} = 50 \text{ kN}$$

$$N_2'' = -100 \text{ kN} \quad N_3'' = -150 \text{ kN}$$

$$\Delta t^C = 250^\circ C$$

$$N_1^C = 150 \text{ kN}$$

$$N_2^C = -100$$

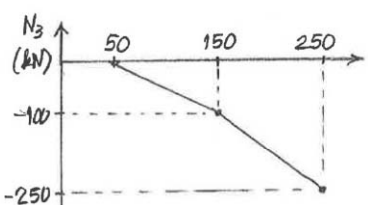
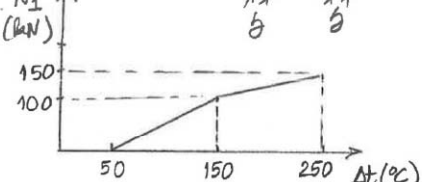
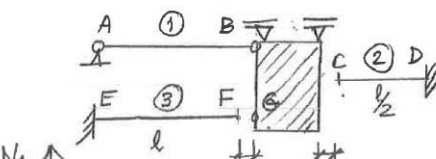
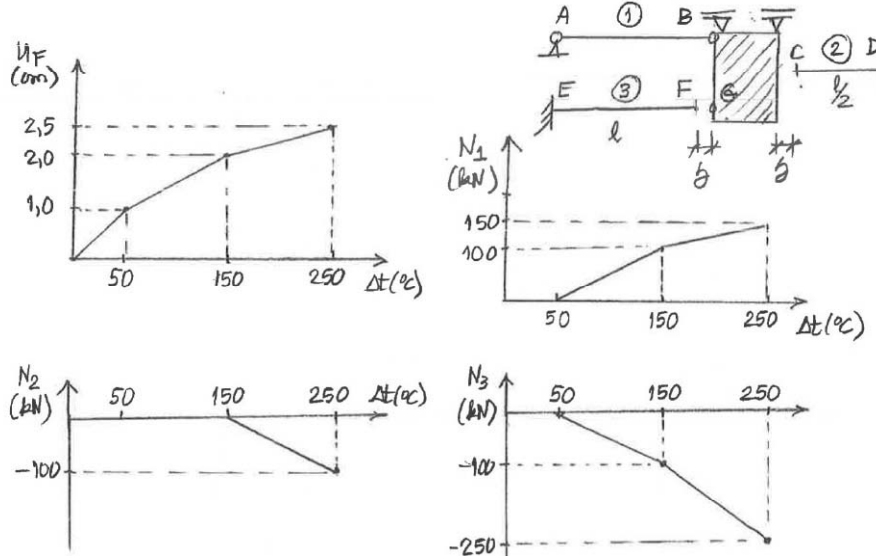
$$N_3^C = -250 \text{ kN}$$

Deslocamento do ponto F:

$$u_F = \Delta\ell_3$$

$$\left\{ \begin{array}{ll} \Delta t = 50^\circ C & u_F^A = \delta = 1 \text{ cm} \\ \Delta t = 100^\circ C & u_F^B = 2\delta = 2 \text{ cm} \\ \Delta t = 250^\circ C & u_F^C = \frac{N_3\ell}{EA} + \alpha\ell\Delta t \\ & = \frac{-250 \times 100}{1 \times 10^4} + 2 \times 10^{-4} \times 100 \times 250 \\ & = -2,5 + 5 = 2,5 \text{ cm} \end{array} \right.$$

Gráficos



Exemplo (Q21-15P1Q3 – Ruptura de barra)

Na estrutura da figura, as barras DH e BJ são infinitamente rígidas. As barras 1 e 2 têm comprimento ℓ e a barra 3, comprimento $\ell/5$. As barras 1, 2 e 3 têm área A e seu material possui módulo de elasticidade E e tensão de ruptura à tração σ_{rt} . Trace os diagramas de

$$\sigma_1 \times P, \quad \sigma_2 \times P, \quad \sigma_3 \times P$$

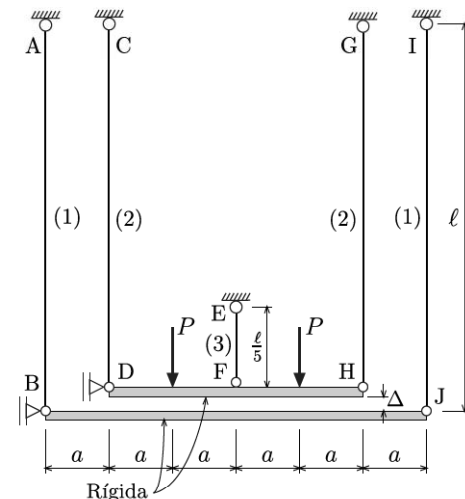
quando P varia de 0 a 40 kN.

São dados: $\ell = 100 \text{ cm}$,

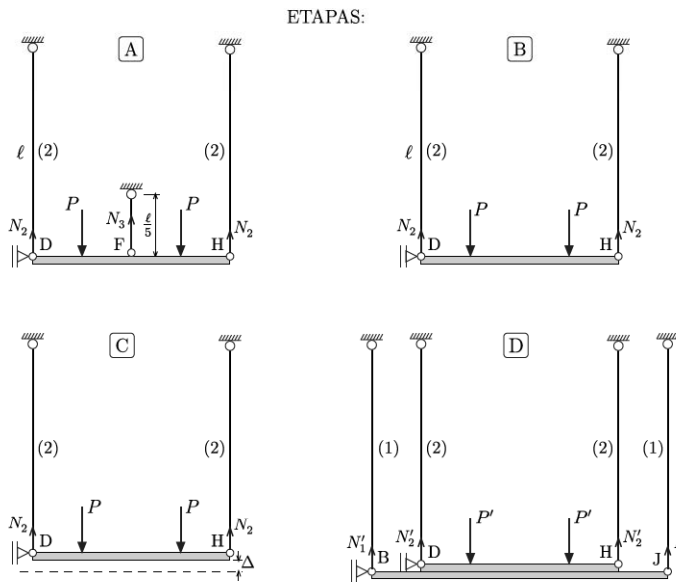
$$\Delta = 0,075 \text{ cm}$$

$$E = 20000 \text{ kN/cm}^2, \quad A = 2 \text{ cm}^2$$

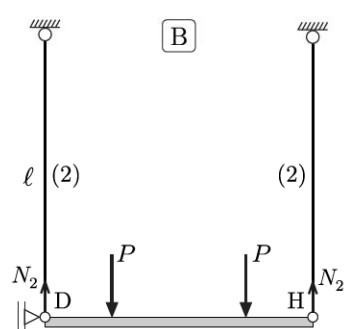
$$\sigma_{rt} = 20 \text{ kN/cm}^2$$



Método dos Deslocamentos – $nGL = 1$



Etapa B
– Logo após a ruptura
($N_3 = 0$)



• Equilíbrio

$$N_2 = P = 28 \text{ kN}$$

$$P^B = 28 \text{ kN}$$

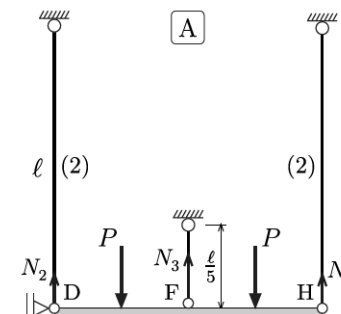
$$\begin{array}{lll} N_1^B = 0 & N_2^B = 28 \text{ kN} & N_3^B = 0 \\ \sigma_1^B = 0 & \sigma_2^B = 14 \text{ kN/cm}^2 & \sigma_3^B = 0 \end{array}$$

Encosta nas barras inferiores?

$$\Delta\ell_2 = \frac{28 \times 100}{20000 \times 2} = 0,07 < \Delta$$

Não encosta!

Etapa A
– Instante da ruptura de (3)



- Compatibilidade $v = \Delta\ell_2 = \Delta\ell_3$
- Eq. constitutiva

$$\frac{N_2\ell}{EA} = \frac{N_3\ell}{5EA} \Rightarrow N_2 = \frac{N_3}{5}$$

• Equilíbrio

$$2N_2 + N_3 = 2P \Rightarrow N_3 = \frac{10P}{7} \quad N_2 = \frac{2P}{7}$$

Ruptura da barra 3 $\sigma_3 = \sigma_{rt} = 20 \text{ kN/cm}^2$

$$\sigma_3 = \frac{10P}{7 \times 2} = 20 \Rightarrow P = 28 \text{ kN}$$

$$N_3 = 40 \text{ kN} \quad N_2 = 8 \text{ kN}$$

Barra DFH encosta em BJ $v_F = \Delta$

$$v_F = \Delta\ell_3 = \Delta \Rightarrow \frac{10P}{5 \times 40 \times 10^3} = 0,075 \quad P = 105 \text{ kN}$$

$$N_1^A = 0 \quad N_2^A = 8 \text{ kN} \quad N_3^A = 40 \text{ kN}$$

• Equilíbrio

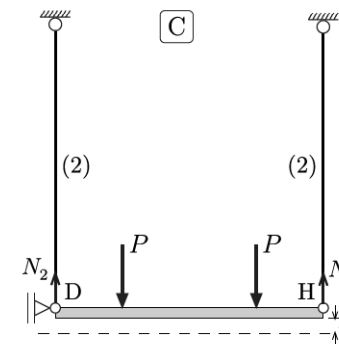
$$N_2 = P$$

• Eq. constitutiva e compatibilidade

$$\frac{N_2\ell}{EA} = \frac{P\ell}{EA} = \Delta \Rightarrow$$

$$\frac{P \times 100}{40 \times 10^3} = 0,075 \Rightarrow$$

$$P = 30 \text{ kN}$$



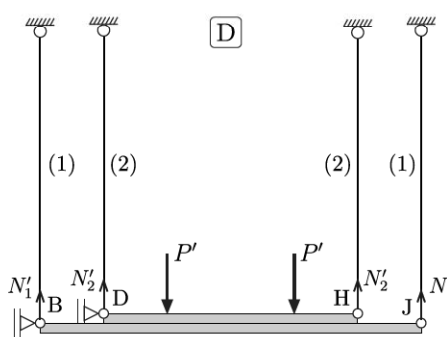
$$P^C = 30 \text{ kN}$$

$$\begin{array}{lll} N_1^C = 0 & N_2^C = 30 \text{ kN} & N_3^C = 0 \\ \sigma_1^C = 0 & \sigma_2^C = 15 \text{ kN/cm}^2 & \sigma_3^C = 0 \end{array}$$

Etapa D

– Após DFH tocar BJ

$$P' = 40 - P^C = 10 \text{ kN}$$



$$P^D = 40 \text{ kN}$$

$$N_1^D = 5 \text{ kN}$$

$$\sigma_1^D = 2,5 \text{ kN/cm}^2$$

$$N_2^D = 35 \text{ kN}$$

$$\sigma_2^D = 17,5 \text{ kN/cm}^2$$

$$N_3^D = 0$$

$$\sigma_3^D = 0$$

- Compatibilidade e eqs. constitutivas (PE)

$$v' = \Delta\ell'_1 = \Delta\ell'_2 \Rightarrow$$

$$\frac{N'_1\ell}{EA} = \frac{N'_2\ell}{EA}$$

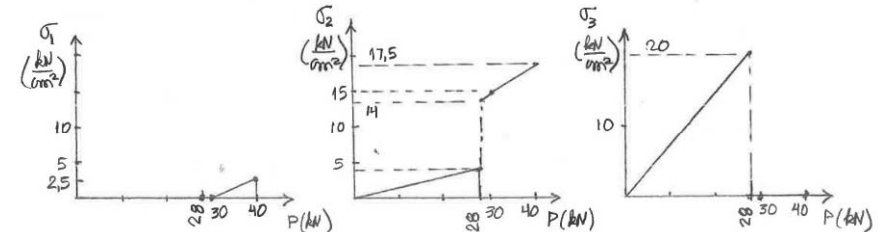
$$N'_1 = N'_2$$

- Equilíbrio

$$2N'_2 + 2N'_1 = 2P' \Rightarrow$$

$$N'_1 = N'_2 = \frac{P'}{2} = 5 \text{ kN}$$

Gráficos



Método dos Esforços – $nGH = 2$

- Equilíbrio

$$2N_1 = Y \Rightarrow N_1 = \frac{Y}{2}$$

$$2N_2 + X + Y = 2P \Rightarrow N_2 = P - \frac{X + Y}{2}$$

$$N_3 = X$$

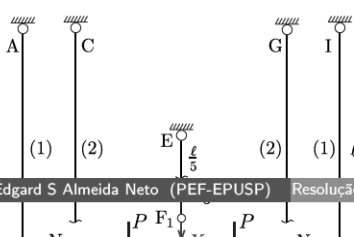
- Eqs. constitutivas

$$\Delta\ell_1 = \frac{Y\ell}{EA}$$

$$\Delta\ell_2 = \frac{P\ell}{EA} - \frac{(X + Y)\ell}{EA}$$

$$\Delta\ell_3 = \frac{X\ell}{EA}$$

EIF



- Compatibilidade

Etapa A

– Antes de DFH tocar BJ ($Y = 0$)

$$v_{F1} = v_{F2} \stackrel{(1)}{\Rightarrow} X = \frac{10P}{7}$$

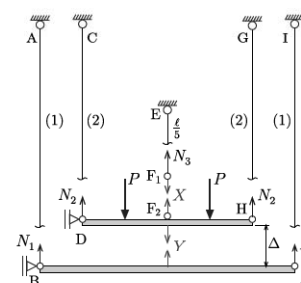
$$N_1 = 0 \quad N_2 = \frac{2P}{7} \quad N_3 = \frac{10P}{7}$$

Ruptura da barra 3 $\sigma_3 = \sigma_{rt} = 20 \text{ kN/cm}^2$

$$\sigma_3 = \frac{5P}{7} = 20 \Rightarrow P = 28 \text{ kN}$$

$$N_3 = 40 \text{ kN} \quad N_2 = 8 \text{ kN}$$

Barra DFH toca BJ $v_F = \Delta$



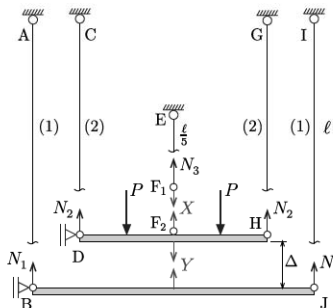
$$P^A = 28 \text{ kN}$$

$$N_1^A = 0 \quad \sigma_1^A = 0$$

$$N_2^A = 8 \text{ kN} \quad \sigma_2^A = 4 \text{ kN/cm}^2$$

$$N_3^A = 40 \text{ kN} \quad \sigma_3^A = 20 \text{ kN/cm}^2$$

$$v_F = \Delta\ell_3 = \Delta \Rightarrow \frac{\frac{10P}{7} \times 100}{5 \times 40 \times 10^3} = 0,075 \quad P = 105 \text{ kN}$$



Etapa B

– Logo após a ruptura
($X = 0, Y = 0, P = 28 \text{ kN}$)

$$N_2 = \frac{P}{2}$$

$$P^A = 28 \text{ kN}$$

$$N_1^B = 0$$

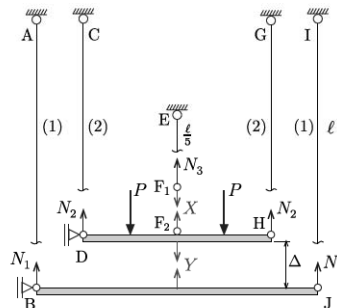
$$N_2^B = 28 \text{ kN}$$

$$N_3^B = 0$$

$$\sigma_1^B = 0$$

$$\sigma_2^B = 14 \text{ kN/cm}^2$$

$$\sigma_3^B = 0$$



Etapa C

– Até DFH tocar BJ
($X = 0, Y = 0$)

$$v_D = \Delta \ell_2 = \Delta \Rightarrow \frac{P \times 100}{40 \times 10^3} = 0,075$$

$$P = 30 \text{ kN}$$

$$P^C = 30 \text{ kN}$$

$$N_1^C = 0$$

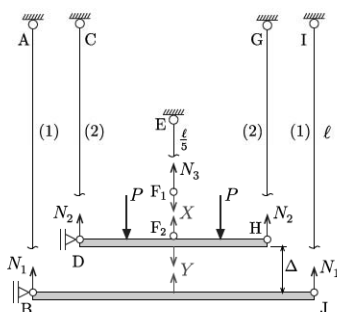
$$N_2^C = 30 \text{ kN}$$

$$N_3^C = 0$$

$$\sigma_1^C = 0$$

$$\sigma_2^C = 15 \text{ kN/cm}^2$$

$$\sigma_3^C = 0$$



Etapa D

– Após DFH tocar BJ
($X = 0, P = 40 \text{ kN}$)

$$v_D = v_B + \Delta \xrightarrow{(2)} Y = -\frac{EA\Delta}{\ell} + P \Rightarrow$$

$$Y = -30 + 40 = 10 \text{ kN}$$

$$P^D = 40 \text{ kN}$$

$$N_1^D = 5 \text{ kN}$$

$$N_2^D = 35 \text{ kN}$$

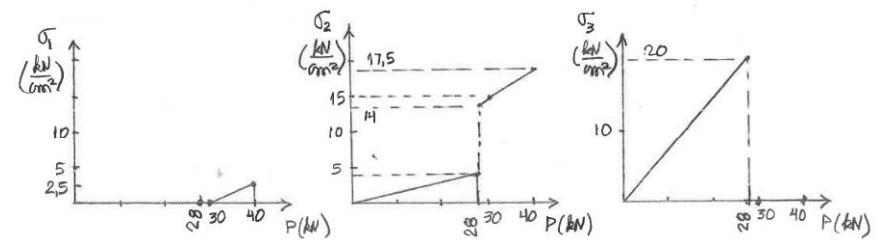
$$N_3^D = 0$$

$$\sigma_1^D = 2,5 \text{ kN/cm}^2$$

$$\sigma_2^D = 17,5 \text{ kN/cm}^2$$

$$\sigma_3^D = 0$$

Gráficos



Problema (13P1Q1)

O material das barras da estrutura da figura tem módulo de elasticidade E , coeficiente de dilatação térmica α e tensão de ruptura à compressão σ_r . As seções transversais das barras 2 e 3 têm o dobro da área da seção da barra 1, ou seja, $A_1 = A$ e $A_2 = A_3 = 2A$.

Admitindo que as barras 2 e 3 sofram um acréscimo de temperatura

$0 \leq \Delta T \leq 250^\circ\text{C}$ e que o material se desintegre no caso da barra se romper, trace os gráficos de a) $\sigma_P \times \Delta T$, b) $\sigma_Q \times \Delta T$, c) $u_R \times \Delta T$; em que σ_P e σ_Q são tensões normais nos pontos médios das barras 1 e 2 e u_R é o deslocamento horizontal do ponto médio da barra 3.

São dados: $E = 10\,000\,\text{kN}/\text{cm}^2$, $\alpha = 2 \times 10^{-5}\,\text{C}^{-1}$, $\sigma_r = 24\,\text{kN}/\text{cm}^2$, $\ell = 100\,\text{cm}$, $\delta = 0,1\,\text{cm}$ e $A = 50\,\text{cm}^2$,

